

# **MODELISATION MACRO ET MICRO-MACRO DES MATERIAUX POLYCRISTALLINS ENDOMMAGEABLES AVEC COMPRESSIBILITE INDUITE**

Présenté par :  
**Mohamed BOUDIFA**  
Le **01 Mars 2006**

## Introduction

### I. Modélisation du comportement avec endommagement ductile

#### I.1 Modélisation Macroscopique

#### I.2 Modélisation micro-macro

### II. Modélisation numérique

#### II.1 Principe des PPV

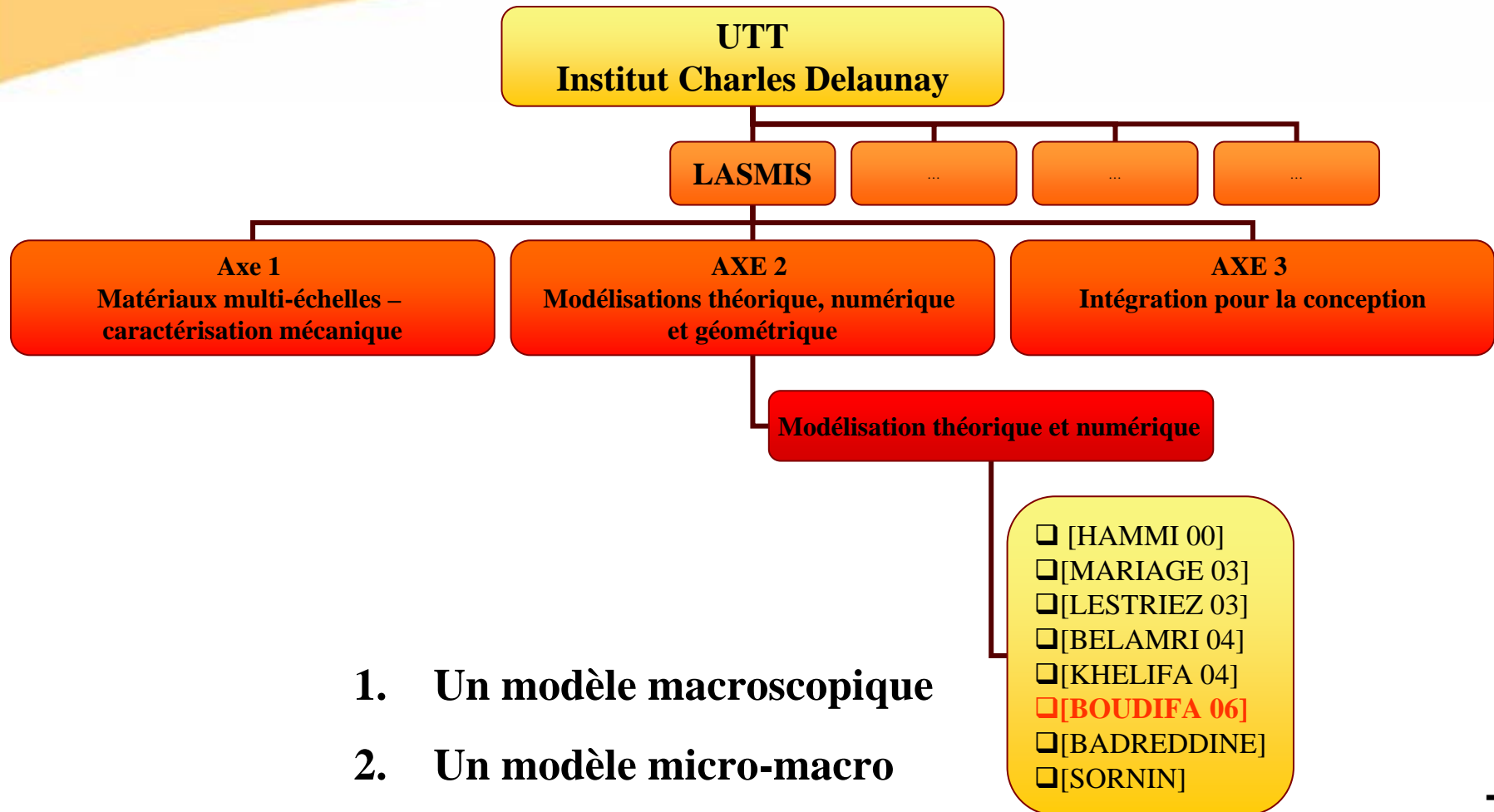
#### II.2 Méthodes incrémentales de résolution

#### II.3 Intégration numérique des modèles de comportement

### III. Quelques Applications

### Conclusions et Perspectives

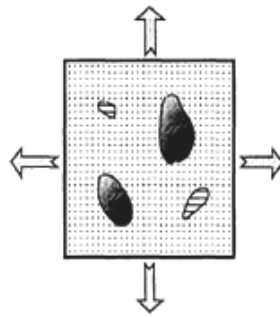
# INTRODUCTION



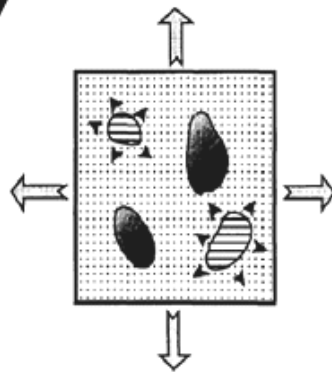
1. Un modèle macroscopique
2. Un modèle micro-macro

# L'ENDOMMAGEMENT DUCTILE ?

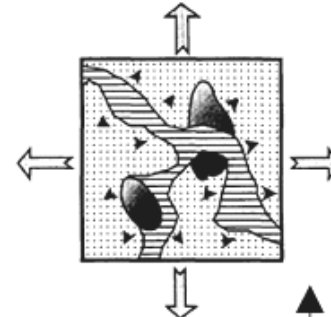
État initial



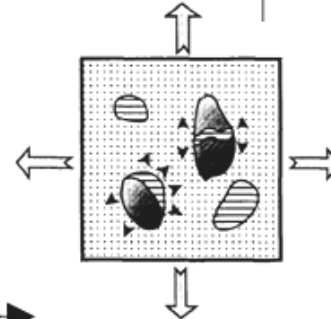
1. Naissance de cavités



3. Coalescence des cavités



2. Croissance des cavités



## Introduction

### I. Modélisation du comportement avec endommagement ductile

#### I.1 Modélisation Macroscopique

#### I.2 Modélisation micro-macro

## II. Modélisation numérique

#### II.1 Principe des PPV

#### II.2 Méthodes incrémentales de résolution

#### II.3 Intégration numérique des modèles de comportement

## III. Quelques Applications

## Conclusions et Perspectives

# I. MODELISATION

## I.1 Modélisation Macroscopique

## Théorie de GURSON [Gurson 77]

Cinétique des cavités :

- Nucleation
- Croissance
- Coalescence

Variable d'endommagement :  
porosité  $f$

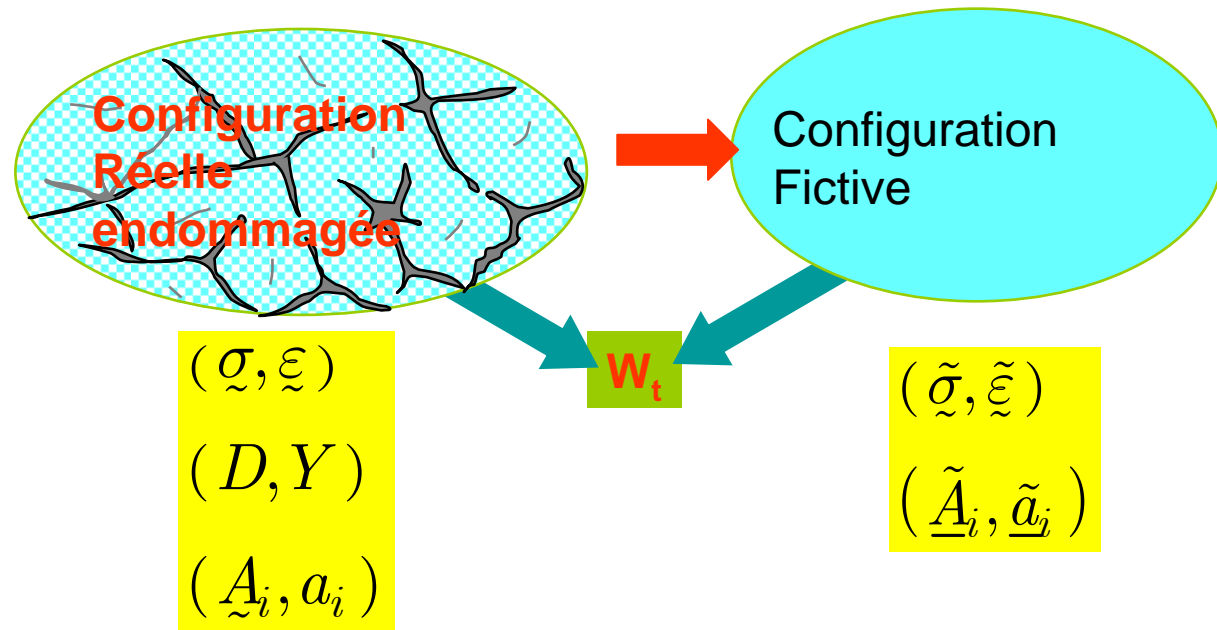
## Théorie CDM [Lemître85]

Effet Phénoménologique des  
Défauts sur la  
Réponse Mécanique

Variable d'Endommagement :  
 $D, D_i, D_{ij}, D_{ijkl}$

-Principe  
d'équivalence en  
déformation  
[Chaboche 78]

-Principe  
d'équivalence en  
énergie [Cordebois  
79], [Saanouni 88]



# Formulation CDM du modèle macroscopique

## Relations d'état

$$\underline{\underline{\sigma}} = (1 - D) \underline{\underline{L}} : \underline{\underline{\varepsilon}}^e$$

$$\underline{\underline{X}} = (1 - D) \frac{2}{3} C \underline{\underline{\alpha}}$$

$$R = (1 - D) Qr$$

$$Y = \frac{1}{2} \underline{\underline{\varepsilon}}^e : \underline{\underline{L}} : \underline{\underline{\varepsilon}}^e + \frac{2}{3} C \underline{\underline{\alpha}} : \underline{\underline{\alpha}} + \frac{1}{2} Qr^2$$

$$= Y_e + Y_{an}$$

## Variable d'Endommagement

$$D^* = D_0 + D + D^v$$

$$f = \frac{\|\underline{\underline{\sigma}} - \underline{\underline{X}}\| - R}{\sqrt{1 - D^*}} - \sigma_y$$

## Relations Complémentaires

$$\dot{\underline{\underline{\varepsilon}}}^p = \frac{\dot{\lambda}}{\sqrt{1 - D^*}} \underline{\underline{n}} \quad \underline{\underline{n}} = \bar{\underline{\underline{n}}} + \underline{\underline{n}}^s$$

$$\dot{\underline{\underline{\alpha}}} = \frac{\dot{\lambda}}{\sqrt{1 - D^*}} \bar{\underline{\underline{n}}} - a \dot{\lambda} \underline{\underline{\alpha}}$$

$$\dot{r} = \frac{\dot{\lambda}}{\sqrt{1 - D^*}} (1 - br \sqrt{1 - D^*})$$

$$\dot{D} = \dot{\lambda} (1 - D)^{-\beta} \left\langle \frac{Y - Y_0}{S} \right\rangle^s$$

$$\dot{D}^v = (1 - D^v) \text{tr}(\dot{\underline{\underline{\varepsilon}}}^p)$$

$$\dot{f}_g = (1 - f) \text{tr}(\dot{\underline{\underline{\varepsilon}}}^p)$$

$$\|\underline{\underline{\sigma}} - \underline{\underline{X}}\| = \sqrt{(\underline{\underline{\sigma}} - \underline{\underline{X}}) : \underline{\underline{H}} : (\underline{\underline{\sigma}} - \underline{\underline{X}}) + \alpha D^* [tr(\underline{\underline{\sigma}})]^2}$$

## Version (GTN)

$$F = \left( \frac{\sigma_{eq}}{\sigma_y} \right)^2 + 2q_1 f^* \cosh \left( \frac{q_2 \text{tr}(\underline{\underline{\sigma}})}{2\sigma_y} \right) - 1 - (q_1 f^*)^2$$

$$\underline{\underline{n}} = \frac{\underline{\underline{H}} : (\underline{\underline{\sigma}} - \underline{\underline{X}})}{\|\underline{\underline{\sigma}} - \underline{\underline{X}}\|} + \frac{\alpha D^* \text{tr}(\underline{\underline{\sigma}})}{\|\underline{\underline{\sigma}} - \underline{\underline{X}}\|} \underline{\underline{1}}$$

$$\underline{\underline{n}}^{GTN} = \frac{\partial F}{\partial \underline{\underline{\sigma}}} = \frac{3s}{\sigma_y^2} + \frac{q_1 q_2 f^* \text{tr}(\underline{\underline{\sigma}})}{2\sigma_y} \sinh \left( \frac{q_2 \text{tr}(\underline{\underline{\sigma}})}{2\sigma_y} \right) \underline{\underline{1}}$$

**Ecoulement plastique**  $\dot{\lambda}^p = \frac{1}{H} \langle [(1 - D) \underline{n} : \underline{\underline{L}} : \underline{\underline{\dot{\epsilon}}}] \rangle$

**Ecoulement Viscoplastique**  $\dot{\lambda}^{vp} = \left\langle \frac{f}{K} \right\rangle^n$

**Généralisation aux transformations finies**

Pour tout tenseur  $\underline{T}$   $\underline{\underline{T}}_Q = \underline{Q}^T \cdot \underline{T} \cdot \underline{Q} \longrightarrow \underline{\underline{\dot{Q}}} = \underline{\underline{W}}_Q \cdot \underline{Q}$  avec  $\underline{Q}(t=0) = \underline{1}$

**Jaumann**

$\underline{\underline{W}}_Q = \underline{\underline{\mathcal{L}}}^{AntySym} = \{ \underline{\underline{\dot{F}}} \cdot \underline{\underline{F}}^{-1} \}^{AntySym}$

**Green-Naghdi**

$\underline{\underline{W}}_Q = \underline{\underline{\dot{R}}} \underline{\underline{R}}^T$

**Taux de déformation**  $\underline{\underline{D}} = \underline{\underline{\mathcal{L}}}^{Sym} = \underline{\underline{\dot{\epsilon}}}^J + \underline{\underline{D}}_p$



# Introduction

## I. Modélisation du comportement avec endommagement ductile

### I.1 Modélisation Macroscopique

### I.2 Modélisation micro-macro

## II. Modélisation numérique

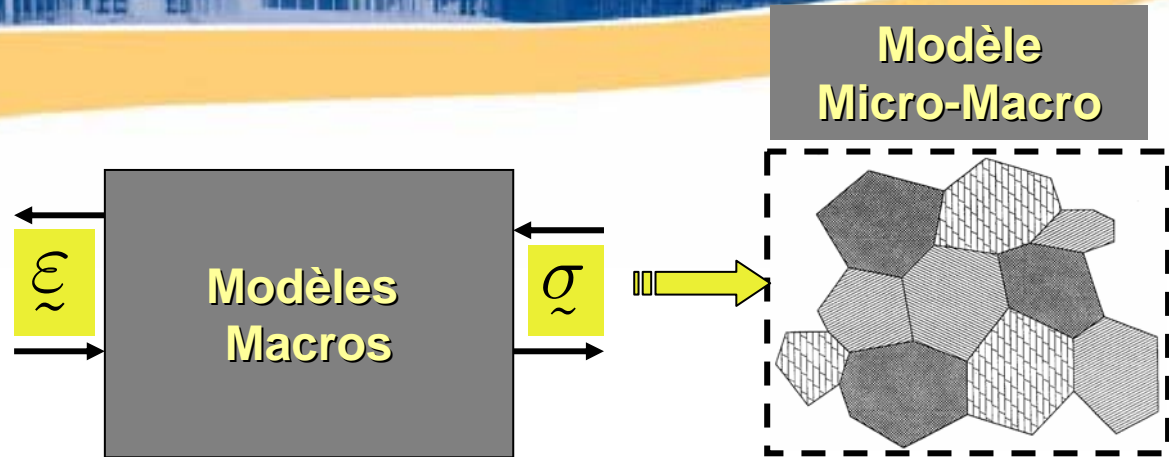
### II.1 Principe des PPV

### II.2 Méthodes incrémentales de résolution

### II.3 Intégration numérique des modèles de comportement

## III. Quelques Applications

## Conclusions et Perspectives



### 1. Définition de l'EVR

### 4. Homogénéisation

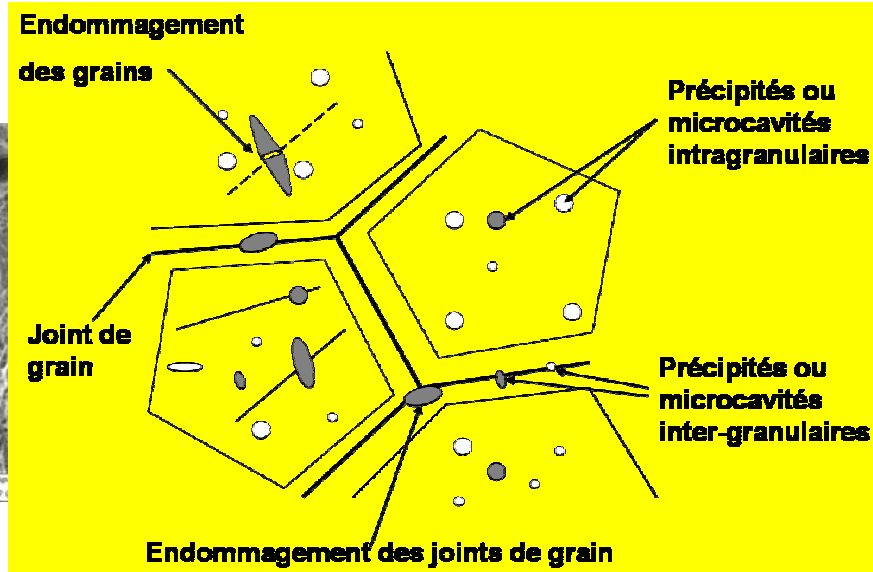
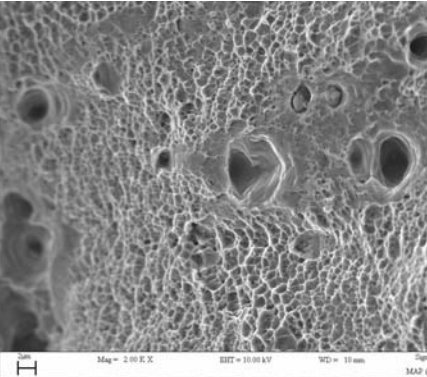
### 2. Localisation

### 3. Modélisation du comportement

Matériau :

- Métal polycristallin
- Monophasique défini par des directions et plans cristallins

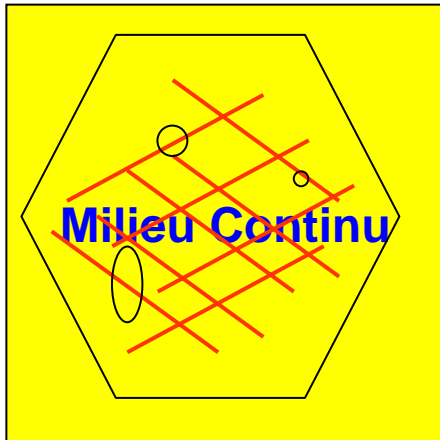
# L'endommagement à l'échelle micro?



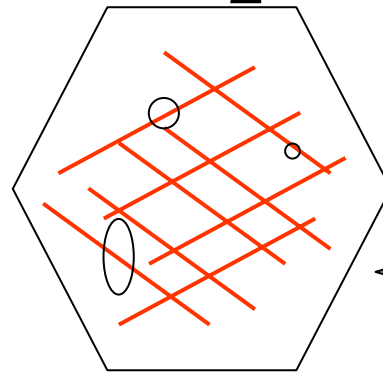
## Hypothèses sur l'endommagement ductile

1. Variable phénoménologique  $d^s$  traduit la présence en nucléation ou en croissance de microcavités

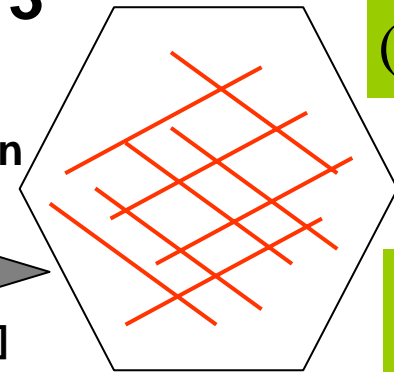
1



2



3



Cission de Schmid  
Glissement cristallin

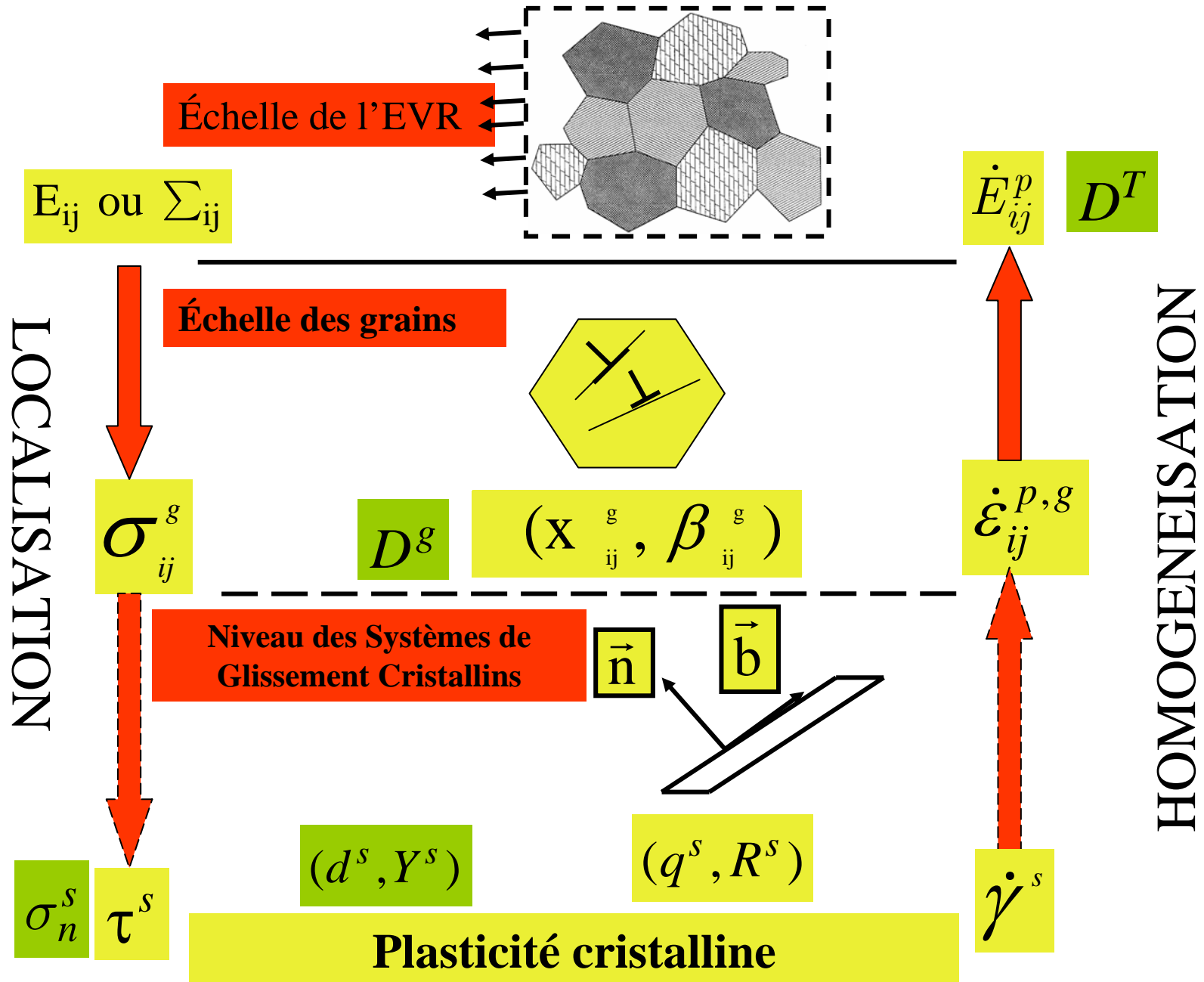
$$(\tau^s, \gamma^s)$$

Plasticité cristalline

2. Mesure de dommage granulaire  $D^g$  due à la contrainte normale au plan de glissement

$$\sigma_n^s, D^g$$

# Schéma du Modèle



# Equations du modèle

## 1. Au Niveau SGC

$$f^s = \frac{|\tau^s| + \alpha D^g \langle \sigma_n^s \rangle - R^s}{\sqrt{1 - d^s}} - \tau_0$$

$$f^s > 0$$

$$\tau^s = \underline{\sigma}^g : \underline{m}^s, \text{ avec } \underline{m}^s = \frac{1}{2}(\vec{n}^s \otimes \vec{b}^s + \vec{b}^s \otimes \vec{n}^s)$$

$$\sigma_n^s = \underline{\sigma}^g : \underline{\eta}^s, \text{ avec } \underline{\eta}^s = \vec{n}^s \otimes \vec{n}^s$$

### Relations d'état

$$R^s = Q \sqrt{1 - d^s} \sum_r^{Ns} H^{sr} \sqrt{1 - d^r} q^r$$

$$Y^s = \frac{1}{2} \frac{R^s q^s}{(1 - d^s)}$$

### Relations d'évolution

$$\dot{\gamma}^s = \frac{\dot{\lambda}^s}{\sqrt{1 - d^s}} \text{sign}(\tau^s)$$

$$\dot{q}^s = \frac{\dot{\lambda}^s}{\sqrt{1 - d^s}} (1 - b \dot{\lambda}^s)$$

$$\dot{d}^s = \dot{\lambda}^s \left\langle \frac{Y^s - Y_0}{S} \right\rangle^\beta \frac{1}{(1 - d^s)^m}$$

$$\dot{\lambda}^s = \langle f^s / K \rangle^n$$

## À l'échelle des grains

[KRÖNER 61]

$$\underline{\underline{\sigma}}^g = \underline{\underline{\Sigma}} + C^g \left( \sum_{g=1} f^g \underline{\underline{\varepsilon}}_g^p - \underline{\underline{\varepsilon}}_g^p \right)$$

## Relation de localisation

[CAILLETAUD 87]

$$\underline{\underline{\sigma}}^g = \underline{\underline{\Sigma}} + C \left( \sum_{g=1}^{Ng} f^g \underline{\underline{\beta}}^g - \underline{\underline{\beta}}^g \right)$$

## Relation d'état

$$\underline{\underline{x}}^g = \frac{2}{3} C \underline{\underline{\beta}}^g$$

## Relations d'évolution

$$\underline{\underline{\dot{\varepsilon}}}_p^g = \underline{\underline{\dot{\varepsilon}}}_p^g + \underline{\underline{\dot{\varepsilon}}}_p^{gH} \left\{ \begin{array}{l} \underline{\underline{\dot{\varepsilon}}}_p^g = \sum_{s=1}^{s=Ns} \frac{\dot{\lambda}^s \text{sign}(\tau^s)}{\sqrt{1-d^s}} \underline{\underline{m}}^s \\ \underline{\underline{\dot{\varepsilon}}}_p^{gH} = \sum_{s=1}^{s=Ns} \frac{\dot{\lambda}^s \alpha D^g}{\sqrt{1-d^s}} \underline{\underline{\eta}}^s \end{array} \right.$$

$$\underline{\underline{\dot{\beta}}}_p^g = \underline{\underline{\dot{\varepsilon}}}_p^g - \alpha \underline{\underline{\beta}}^g \sum_{s=1}^{Ns} \dot{\lambda}^s$$

$$D^g = \sum_{s=1}^{s=Ns} d^s$$

## À l'échelle de l'EVR

## Relation d'état

$$\underline{\underline{\Sigma}} = (1 - D^T) \underline{\underline{L}} : \underline{\underline{E}}^e$$

## Relations d'évolution

$$\underline{\underline{\dot{E}}}^p = \sum_{g=1}^{g=Ng} f^g \underline{\underline{\dot{\varepsilon}}}_p^g$$

$$\underline{\underline{\dot{E}}}^e = \underline{\underline{\dot{E}}} - \underline{\underline{\dot{E}}}^p$$

$$\underline{\underline{\dot{D}}}^T = \sum_{g=1}^{Ng'} f^g \sum_{s=1}^{s=Ns} \dot{d}^s$$

## Compressibilité plastique

$$\begin{aligned} \text{tr}(\underline{\underline{\dot{E}}}^p) &= \text{tr} \left( \sum_{g=1}^{g=Ng} f^g \underline{\underline{\dot{\varepsilon}}}_p^g \right) \\ &= \text{tr} \left( \sum_{g=1}^{g=Ng} f^g \underline{\underline{\dot{\varepsilon}}}_p^{gH} \right) \\ &= \text{tr} \left( \sum_{g=1}^{g=Ng} f^g \sum_{s=1}^{s=Ns} \frac{\dot{\lambda}^s \alpha D^g}{\sqrt{1-d^s}} \underline{\underline{\eta}}^s \right) \\ &= \sum_{g=1}^{g=Ng} f^g \sum_{s=1}^{s=Ns} \frac{\dot{\lambda}^s \alpha D^g}{\sqrt{1-d^s}} \neq 0 \end{aligned}$$

## Introduction

### I. Modélisation du comportement avec endommagement ductile

#### I.1 Modélisation

##### Macroscopique

#### I.2 Modélisation micro-macro

## II. Modélisation numérique

### II.1 Principe des PPV

### II.2 Méthodes incrémentales de résolution

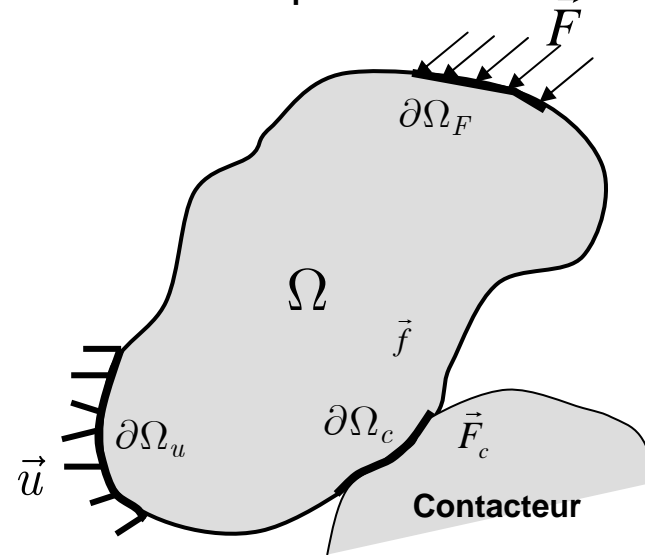
### II.3 Intégration numérique des modèles de comportement

## III. Quelques Applications

### Conclusions et Perspectives

## II. Modélisation numérique

- Une densité de forces volumiques  $\vec{f}$  dans  $\Omega$ ,
- Des efforts surfaciques  $\vec{F}$  sur une partie  $\partial\Omega_f$  de  $\partial\Omega$ ,
- Des efforts de contact  $\vec{F}_c$  (avec un autre solide) sur une partie  $\partial\Omega_c$  de  $\partial\Omega$ ,
- Des déplacements imposés  $\vec{u}$  sur une partie  $\partial\Omega_u$  de  $\partial\Omega$ .



$$\int_{\Omega} \underline{\sigma} : \delta \underline{D} dV - \int_{\Omega} \vec{f} \delta \vec{u} dV - \int_{\partial\Omega_f} \vec{F} \delta \vec{u} dS - \int_{\partial\Omega_c} \vec{F}_c \delta \vec{u} dS = \int_{\Omega} \rho \vec{u} \delta \vec{u} dV$$

(P)

## II.2 Méthodes incrémentales de résolution

### Discrétisation Spatiale par E.F. du PPV

Élément e:  $u_e = N_N u_e^N; \quad \dot{u}_e = N_N \dot{u}_e^N; \quad \ddot{u}_e = N_N \ddot{u}_e^N;$   
 $\delta u_e = N_N \delta u_e^N; \quad \delta \dot{u}_e = N_N \delta \dot{u}_e^N;$

(A)  $[M] \{\ddot{U}\} + \{\mathfrak{R}\} = 0$  AVEC  $\{\mathfrak{R}\} = \{F_{int}\} - \{F_{ext}\}$

### Résolution Statique Implicite (Schéma itératif de Newton-Raphson)

*Convergence*

$$|\{\mathfrak{R}\}_{n+1}^h| = |\{F_{int}\}_{n+1}^h - \{F_{ext}\}_{n+1}^h| \leq \varepsilon$$

$$\{\Delta U\}_{n+1}^h = -[K]_{n+1}^h \{\mathfrak{R}\}_{n+1}^h$$

$$[K]_{n+1}^h = \left[ \frac{\{\partial \mathfrak{R}\}}{\{\partial U\}} \right]_{n+1}^h$$

$$\approx \int_{V^r} [B_{(\eta)}^{el}]^T [\underline{L}_{\tilde{z}^c}^{el}]_{n+1}^h [B_{(\eta)}^{el}] J_V dV^r + \dots$$

$$[\underline{L}_{\tilde{z}^c}^{el}]_{n+1}^h = \frac{\partial (\{\sigma^{el}\})_{n+1}^h}{\partial (\{\varepsilon^{el}\})_{n+1}^h}$$

### Résolution Dynamique Explicite (POINT MILIEU)

$$\{\ddot{U}\}_n = [M_D]_n^{-1} \{\mathfrak{R}\}_n$$

$$\{\dot{U}\}_{n+\frac{1}{2}} = \{\dot{U}\}_{n-\frac{1}{2}} + \frac{\Delta t_n + \Delta t_{n+1}}{2} \{\ddot{U}\}_n$$

$$\{U\}_{n+1} = \{U\}_n + \Delta t_n \{\dot{U}\}_{n+\frac{1}{2}}$$

# Introduction

## I. Modélisation du comportement avec endommagement ductile

### I.1 Modélisation Macroscopique

### I.2 Modélisation micro-macro

## II. Modélisation numérique

### II.1 Principe de résolution

### II.2 Méthodes incrémentales de résolution

### II.3 Intégration numérique des modèles de comportement

## III. Quelques Applications

## Conclusions et Perspectives

# Intégration du modèles macroscopique

$$\begin{cases}
 \dot{\underline{\varepsilon}}^e = \dot{\underline{\varepsilon}} - \frac{\dot{\lambda}}{\sqrt{1-D^*}} \underline{n} \\
 \dot{\alpha} = \frac{\dot{\lambda}}{\sqrt{1-D^*}} \bar{n} - a\dot{\lambda}\alpha \\
 \dot{r} = \frac{\dot{\lambda}}{\sqrt{1-D^*}} (1 - br\sqrt{1-D^*}) \\
 \dot{D} = \dot{\lambda}(1-D)^{-\beta} \left\langle \frac{Y - Y_0}{S} \right\rangle^s \\
 \dot{D}^v = (1 - D^v) \text{tr}(\dot{\underline{\varepsilon}}^p) \\
 f = \frac{\|\underline{\sigma} - \underline{X}\| - R}{\sqrt{1-D^*}} - \sigma_y = 0
 \end{cases}$$

## Prédiction élastique- Correction plastique

$$\Delta \underline{\varepsilon} = \Delta \underline{\varepsilon}^e$$

SI  $f_{n+1} \leq 0$  Solution élastique  
SINON

Correction plastique  $\{H_{n+1}\} = 0$

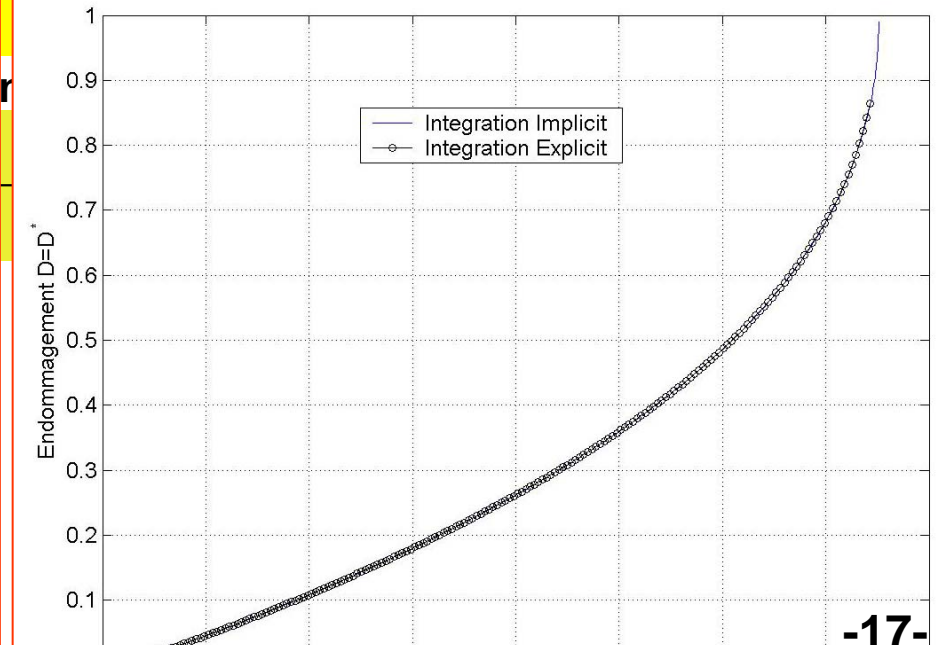
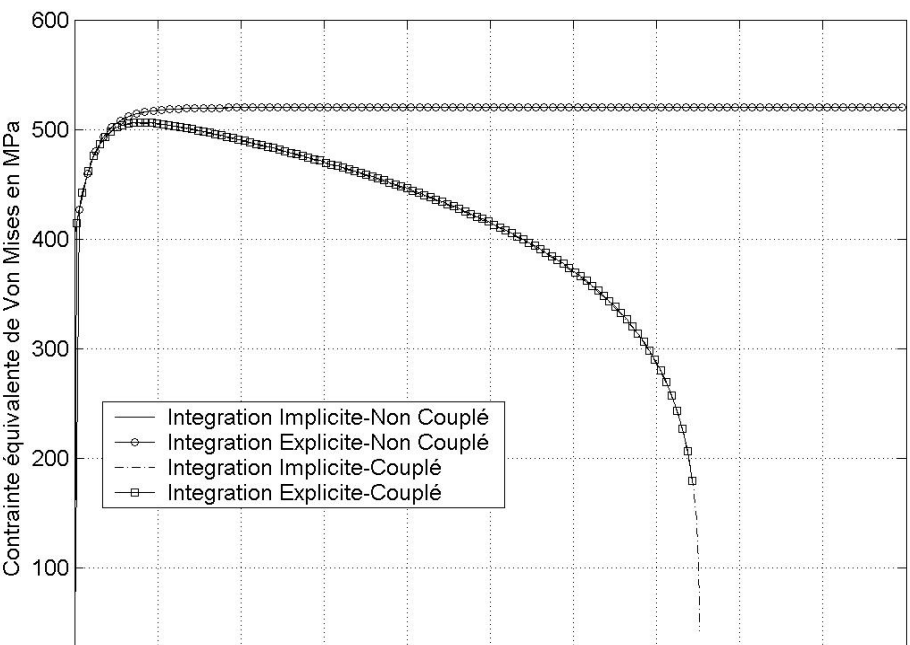
A convergence de l'itération  $s$

$$\{\delta \Delta \underline{x}\}_{n+1}^s = -[\mathbf{J}^{-1}]_{n+1}^s \{H\}_{n+1}^s$$

$$\{\delta \Delta \underline{x}\}_{n+1}^s = \{\delta \Delta \underline{\varepsilon}^e, \delta \Delta \alpha, \delta \Delta r, \delta \Delta D, \delta \Delta D^v, \delta \Delta p\}_{n+1}^s$$



$$[\mathbf{J}_r [\mathbf{J}_{n+1}]^{-1}] = \begin{bmatrix} \underline{\underline{J}}_{ee}^* & & & & \underline{\underline{J}}_{ep}^* \\ & \underline{\underline{J}}_{\alpha e}^* & \underline{\underline{J}}_{\alpha\alpha}^* & & \\ & \underline{\underline{J}}_{re}^* & & & \\ & \underline{\underline{J}}_{De}^* & & & \\ & \underline{\underline{J}}_{D^ve}^* & & & \\ \underline{\underline{J}}^* & & & & \underline{\underline{J}}^* \end{bmatrix}$$



# Intégration du modèle micro-macro

$$\langle \underline{\dot{Y}} \rangle = \langle \underline{\dot{E}}^e, \underline{\dot{D}}^T, \underline{\dot{\beta}}^g, \underline{\dot{\lambda}}^s, \underline{\dot{q}}^s, \underline{\dot{d}}^s \rangle$$

CFC → 12 systèmes cristallins → 7+(6+3×12)×Ng EDO

$$\langle \underline{Y} \rangle_{n+1} = \langle \underline{Y} \rangle_n + \langle \Delta \underline{Y} \rangle$$

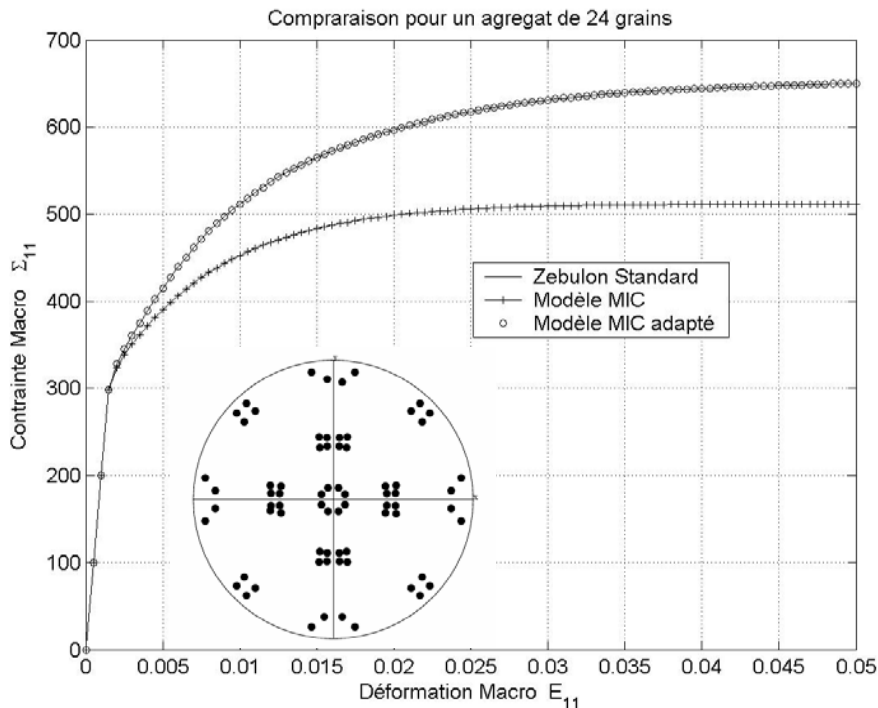
Runge-Kutta  
d'ordre 2

$$\langle \underline{Y} \rangle_0 = \langle \underline{Y}_0 \rangle$$

$$\langle \underline{K}_1 \rangle = \Delta t \langle \underline{\dot{Y}} (t_n, \langle \underline{Y} \rangle_{t_n}) \rangle$$

$$\langle \underline{K}_2 \rangle = \Delta t \langle \underline{\dot{Y}} (t_n + \frac{1}{2} \Delta t, \langle \underline{Y} \rangle_{t_n} + \frac{1}{2} \langle \underline{K}_1 \rangle) \rangle$$

$$\langle \Delta \underline{Y} \rangle = \langle \underline{K}_2 \rangle + O(\Delta t^3)$$



## Différence en entre Zébulon standard et le modèle MIC en Non Couplé

- Zébulon Standard

$$\| \underline{\dot{\xi}}_p^g \| = \sqrt{\frac{2}{3} \underline{\dot{\xi}}_p^g : \underline{\dot{\xi}}_p^g}$$

$$\underline{\dot{\beta}}^g = \underline{\dot{\xi}}_p^g - a \underline{\beta}^g \| \underline{\dot{\xi}}_p^g \|$$

- Modèle MIC

$$\| \underline{\dot{\xi}}_p^g \| = \sum_{s=1}^{N_s} \dot{\lambda}^s$$

# Introduction

## I. Modélisation du comportement avec endommagement ductile

### I.1 Modélisation

#### Macroscopique

### I.2 Modélisation micro-macro

## II. Modélisation numérique

### II.1 Principe de résolution

### II.2 Méthodes incrémentales de résolution

### II.3 Intégration numérique des modèles de comportement

## III. Quelques Applications

## Conclusions et Perspectives

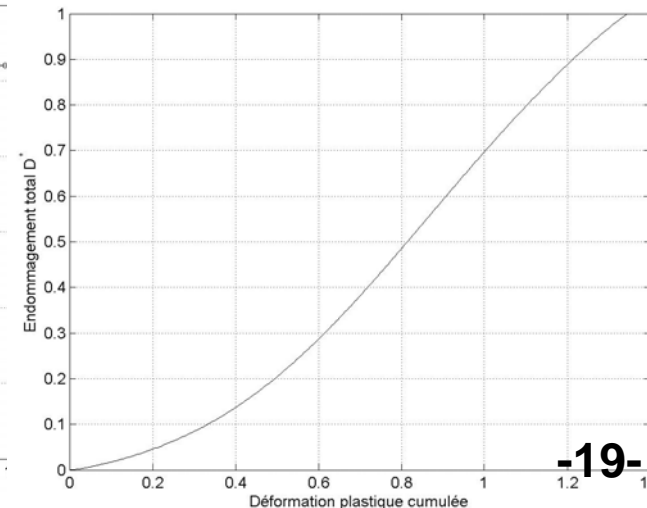
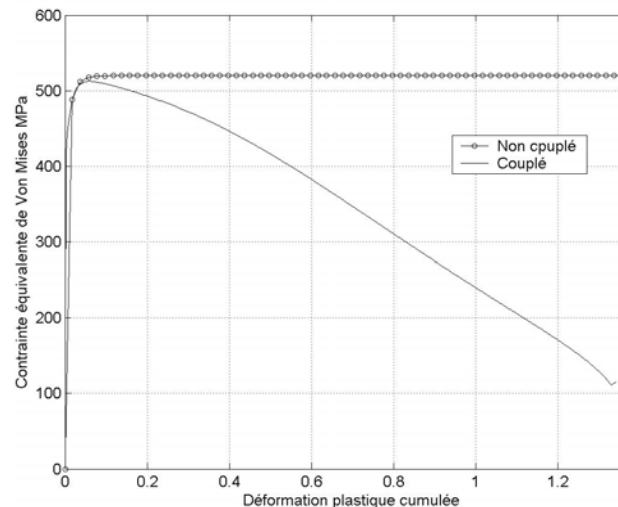
## III.1 Application du modèle macroscopique

But : Comparaison avec le modèle de Gurson

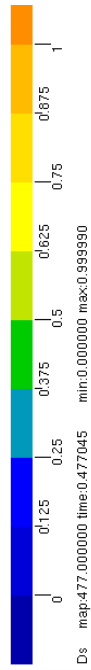
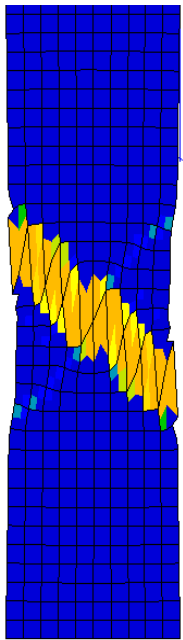
- Modèle MAC1 avec endommagement mixte (couplage fort)
- Modèle MAC2 avec endommagement volumique  $D^v$  seulement
- Modèle GUR (GTN du modèle de Gurson).

### Etude du Modèle MAC1 (Couplage Fort)

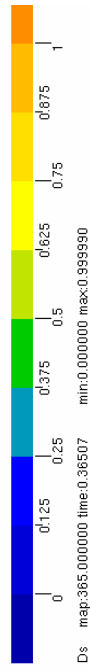
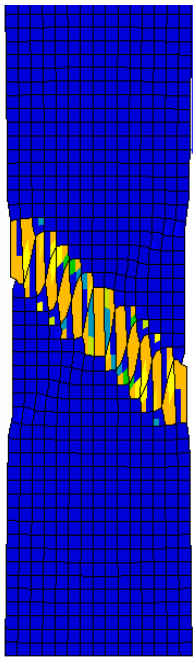
Elasticité	Ecrouissage	Endommagement volumique	Endommagement
$E=200000. \text{ MPa}$ $\nu=0.3$	$\sigma_Y=400. \text{ MPa}$ $Q=1000.0 \text{ MPa}$ $b=50.0$ $C=10000. \text{ MPa}$ $a=100.$	$D_0=0$ $\alpha=1$ $\delta=1$ $D_{crit}=0.005$	$\beta=2, s=1,$ $S=8.35 \text{ MPa}$ $Y_0=0. \text{ MPa}$



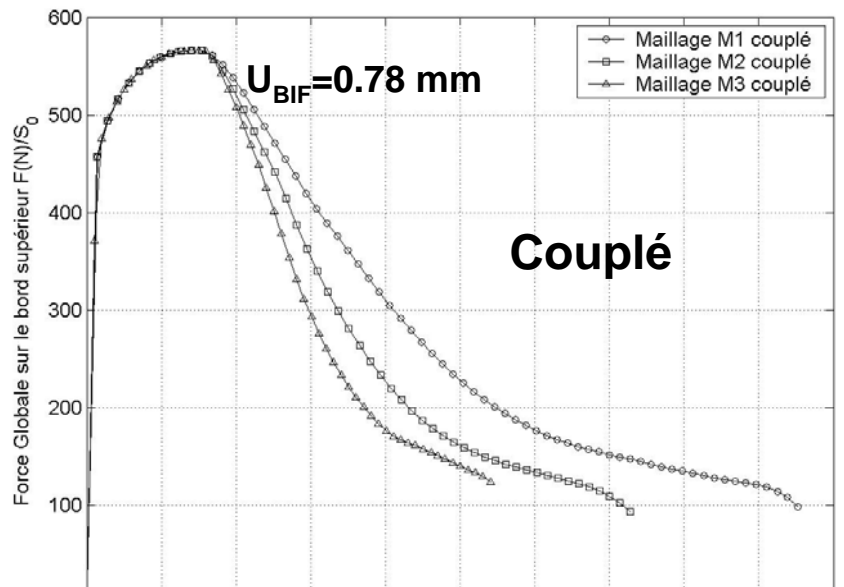
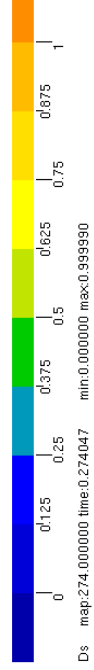
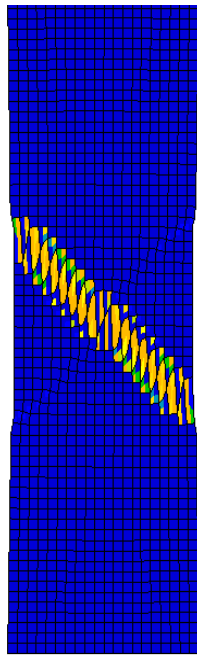
M1



M2

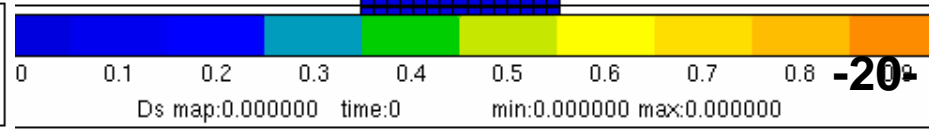
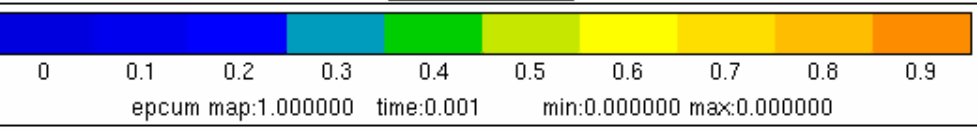
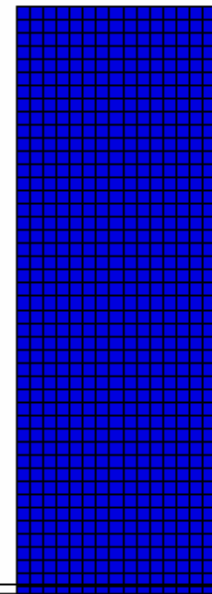
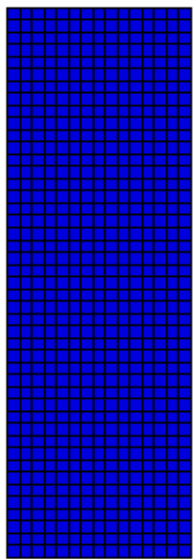


M3



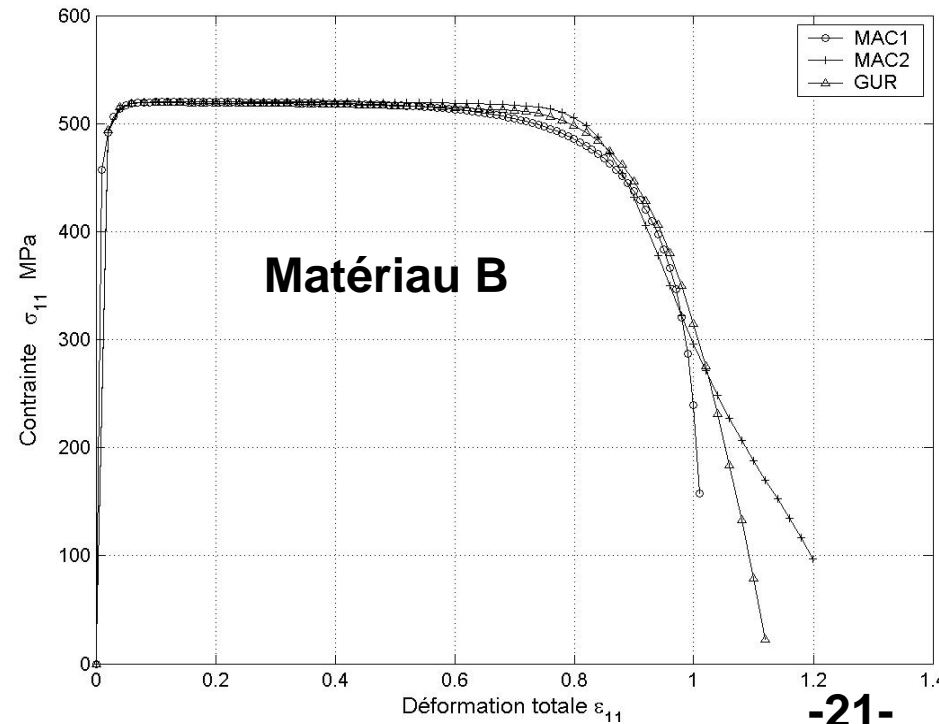
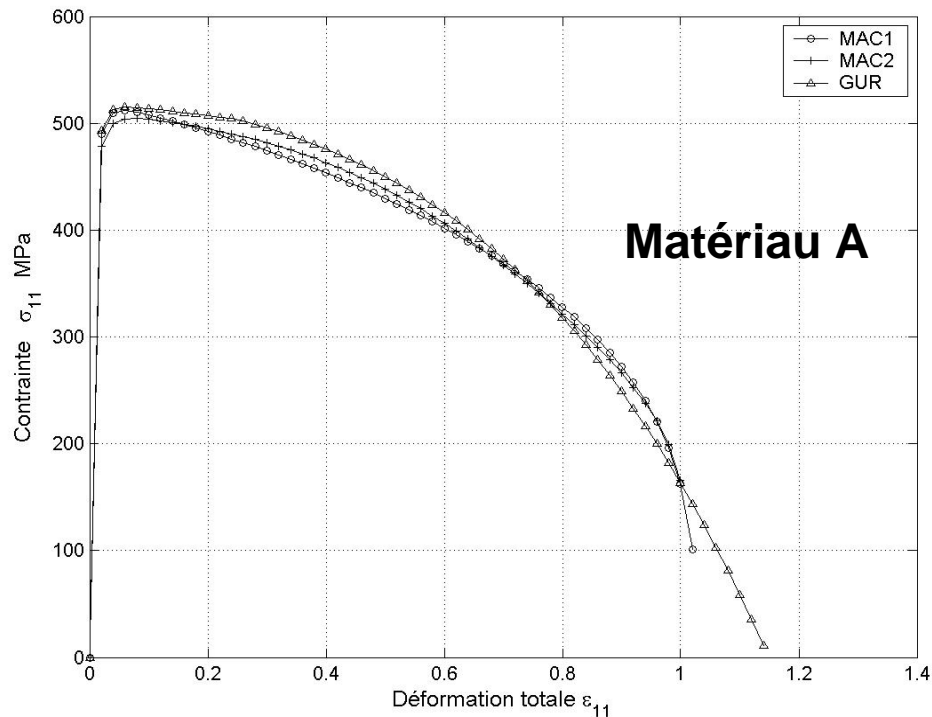
Couplé

Ds Cas couplé (Zébulon)

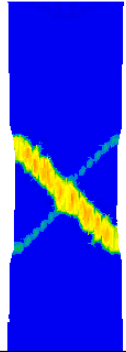


# Comparaison MAC1, MAC2 et GUR

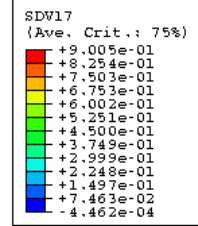
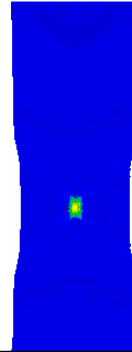
Endommagement	MAC1	MAC2	GUR
A	$\beta=2$ , $s=1$ , $S=4$ MPa $Y_0=0$ MPa, $\alpha=0,3$ , $D_{crit}^d=0.005$ , et $\delta=1$ .	$D_0=0.0322$ $\alpha=0.638$ $D_{crit}^d=0.005$ $\delta=2.02$	$q_1=2.5$ $q_2=1.45$ $f_c=0.005$ , $\delta=3$ . $A=0.001$ (nucléation constante)
B	$\beta=0.7$ , $s=1$ , $S=0,1$ MPa, $Y_0=1.375$ MPa $\alpha=0.3$ , $D_{crit}^d=0.005$ et $\delta=1$ .	$D_0=1.e-6$ $\alpha=3$ . $D_{crit}^d=0.005$ $\delta=2$ .	$q_1=5.81$ $q_2=0.58$ $f_c=0.005$ , $\delta=2$ . $A=0.0172$ (nucléation constante)



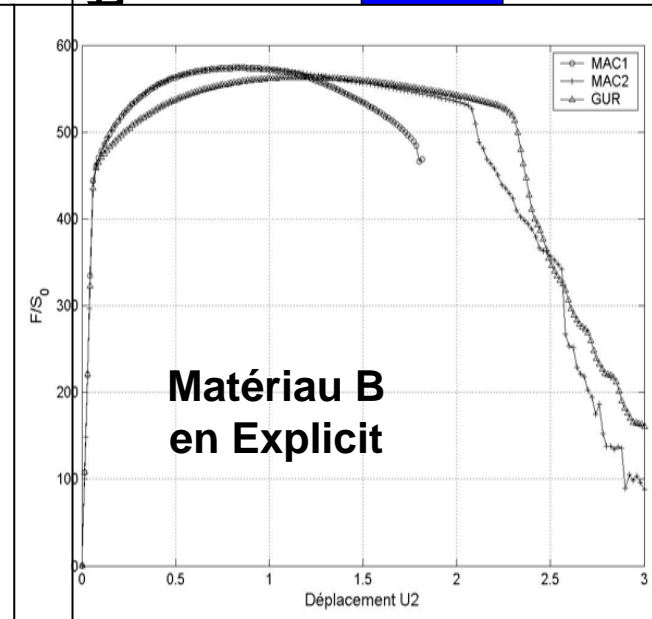
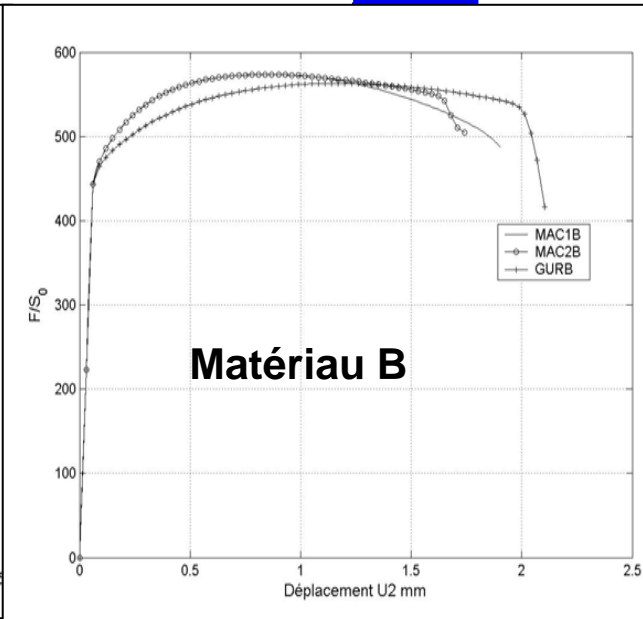
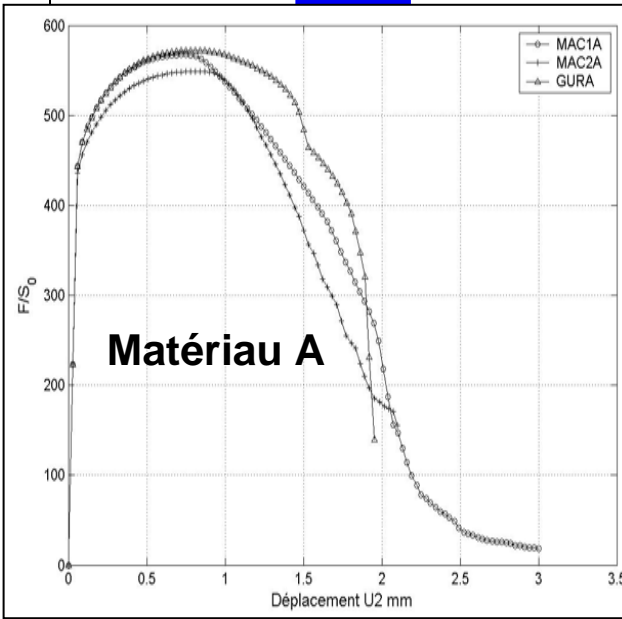
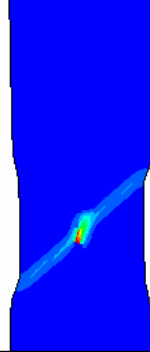
MAC1 A



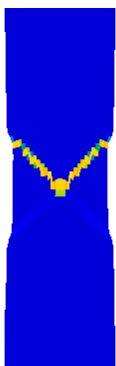
MAC1 B



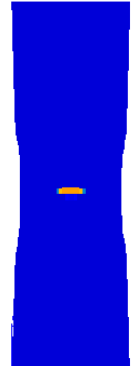
MAC1 B



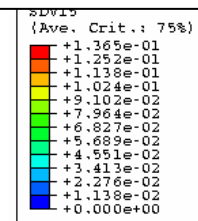
GUR A



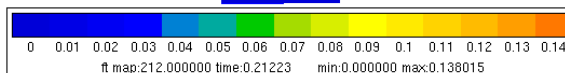
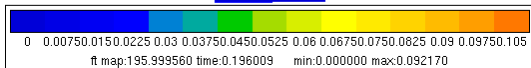
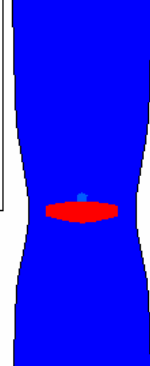
GUR B



Répo



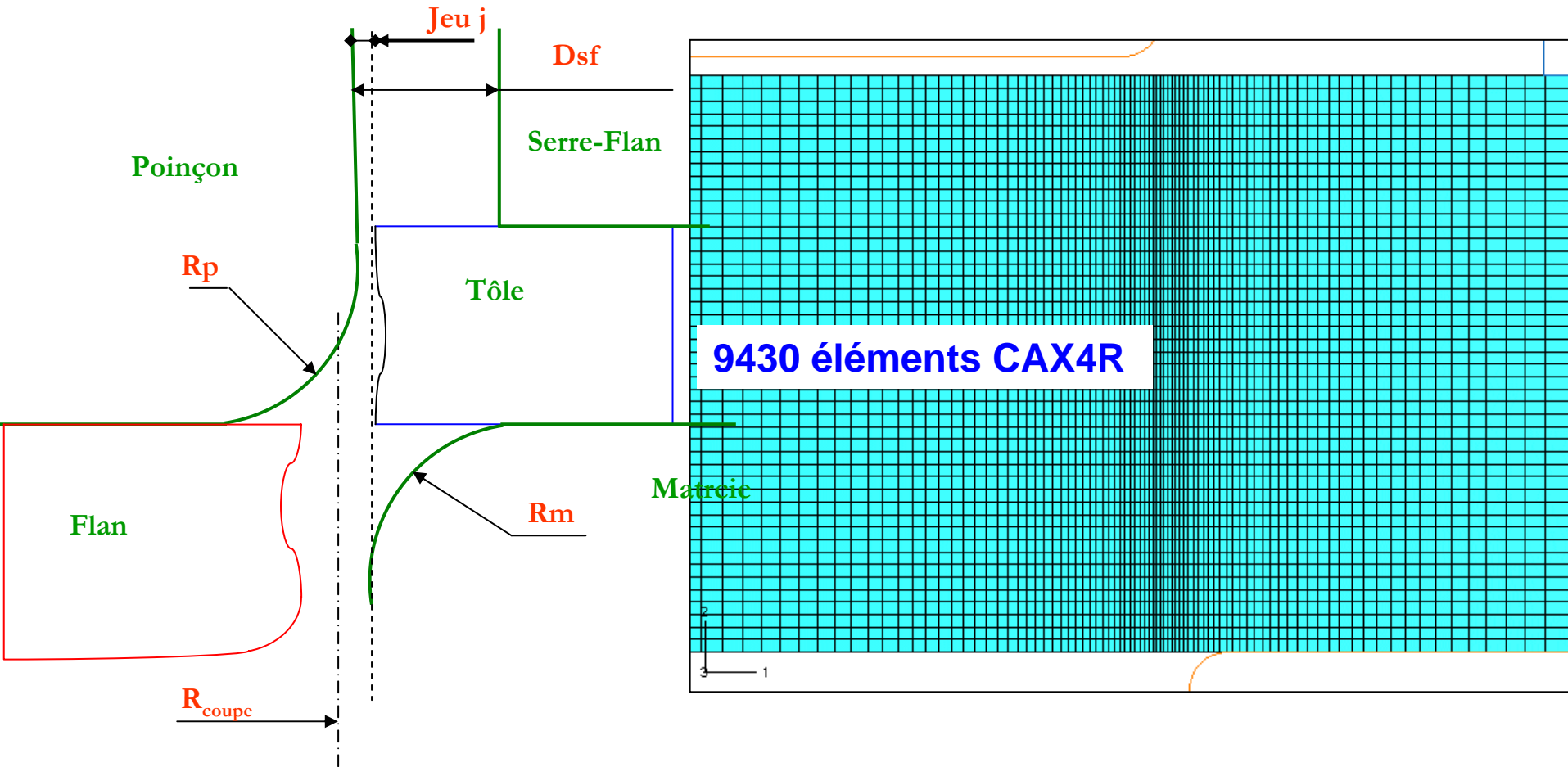
GUR B



2  
3 1



# Comparaison des modèles sur un essai de poinçonnage

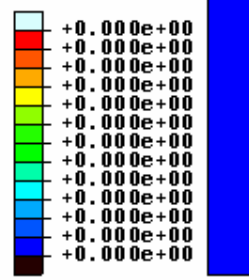


Jeu j (mm)	Rayon poinçon Rp (mm)	Rayon matrice Rm (mm)	Distance serr-flan poinçon Dsf (mm)	Epaisseur de la tole	Rayon de la tôle initiale(mm)	Rayon de coupe R <sub>coupe</sub> (mm)
0.075	0.1	0.1	1	1.5	30	10



Step: Step-1 Frame: 0

SDV5  
(Ave. Crit.: 75%)



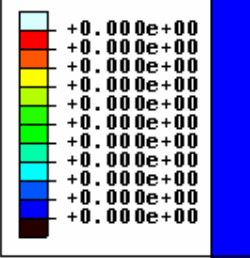
2  
3

Step: Step-1  
Increment: 0: Step Time = 0.0  
Primary Var: SDV5  
Deformed Var: U Deformation Scale Factor: +1.000e+00

MAC1 B

Step: Step-1 Frame: 0

SDV5  
(Ave. Crit.: 75%)



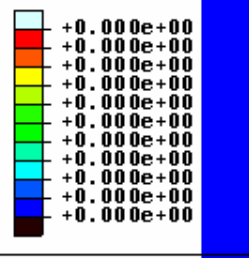
2  
3

Step: Step-1  
Increment: 0: Step Time = 0.0  
Primary Var: SDV5  
Deformed Var: U Deformation Scale Factor: +1.000e+00

MAC2 B

Step: Step-1 Frame: 0

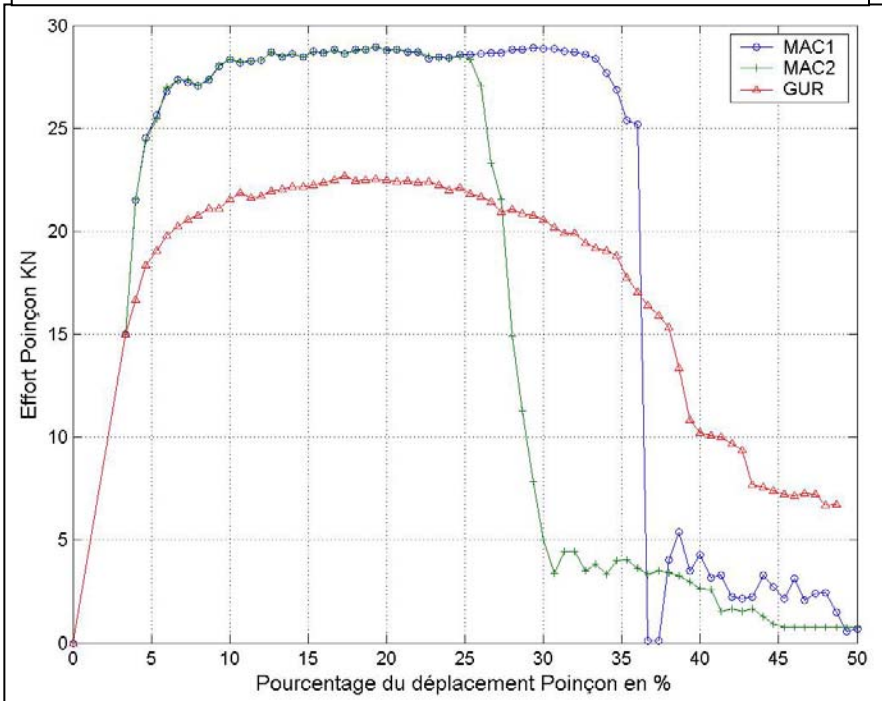
SDV15  
(Ave. Crit.: 75%)

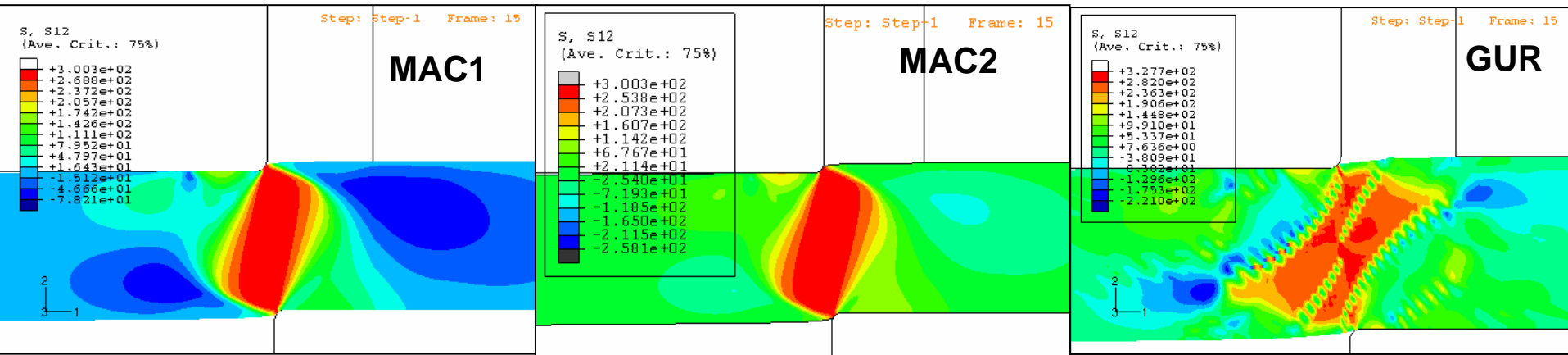


2  
3

Step: Step-1  
Increment: 0: Step Time = 0.0  
Primary Var: SDV15  
Deformed Var: U Deformation Scale Factor: +1.000e+00

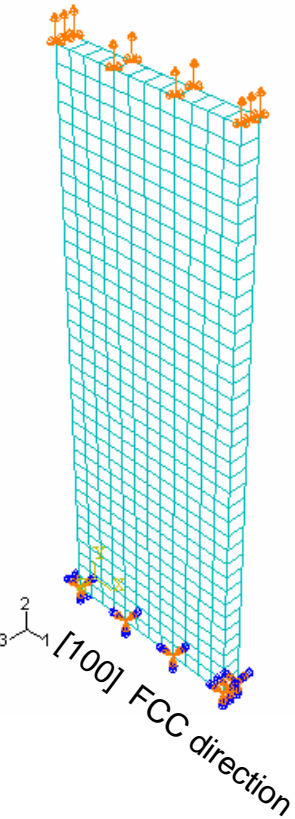
GUR B





10 % pénétration poinçon

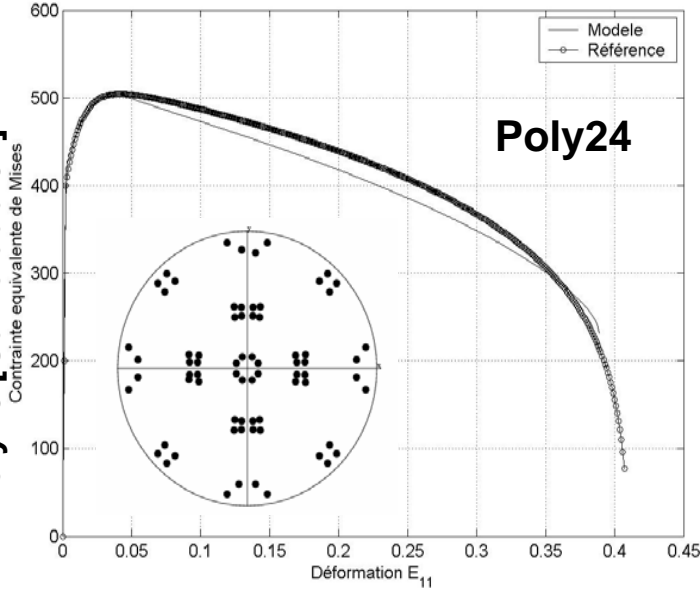
## III.2 Application du modèle Micro-Macro



❖ Poly24 [Bugat 00]

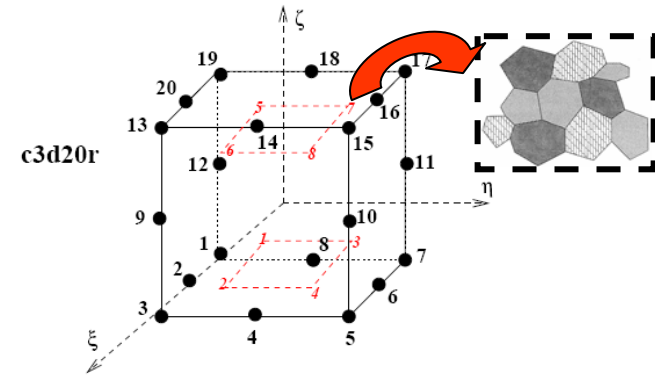
❖ Poly40 [Cailletaud 87]

Contrainte équivalente de Mises



Éléments c3d20r

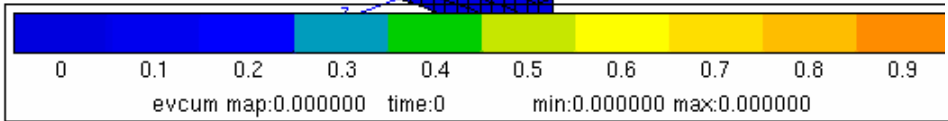
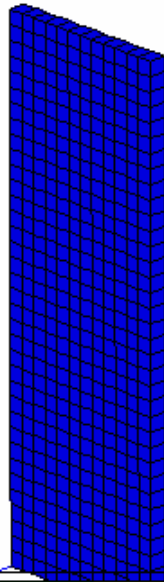
→ 8 Points Gauss



### Coefficients du Poly24

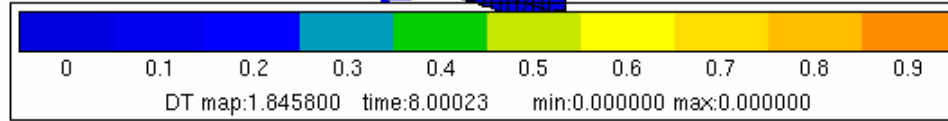
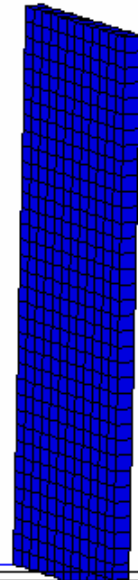
Elasticité macroscopique	Ecrouissage intergranulaire	Ecrouissage intragranulaire	Endommagement
$E=200$ <u>GPa</u> $\nu=0,3$	$C=30067,72$ <u>Mpa</u> , $a=26,74716$	$\sigma_0=145$ Mpa $Q=50$ MPa $b=74,788$ $h_1=1, h_2=1, h_3=2, h_4=1.5, h_5=1, h_6=2,5$ $K=50$ MPa, $n=25$ .	$S=1.2$ MPa $s=1,194$ $\beta=4,785$ $\alpha=0,5$ $Y_0=0,03$

# Réponse du Poly24



Cas Non Couplé (Calcul Zébulon)

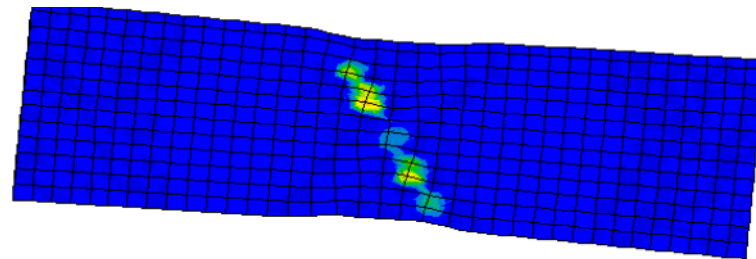
Déformation plastique cumulée macroscopique P



Cas Couplé (Calcul Zébulon)

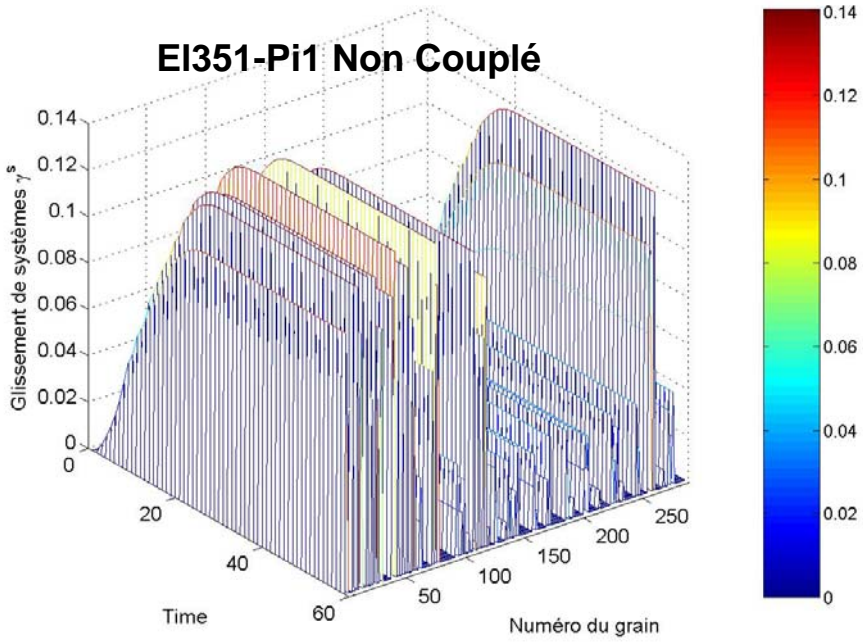
Endommagement macroscopique  $D^T$

Déformation plastique volumique  $Tr(E^p)$

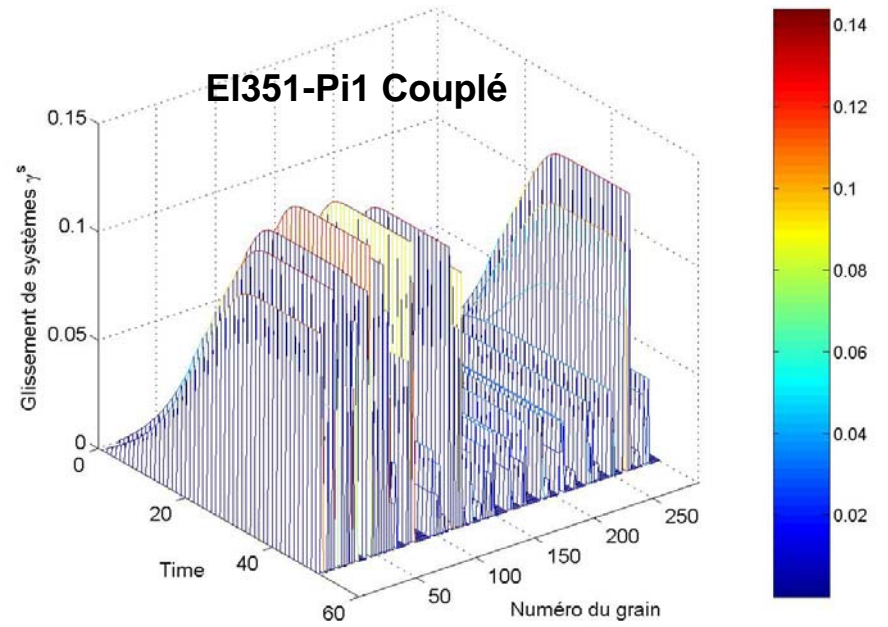


traep map:50.000000 time:200.248 min:-0.000517 max:0.002073

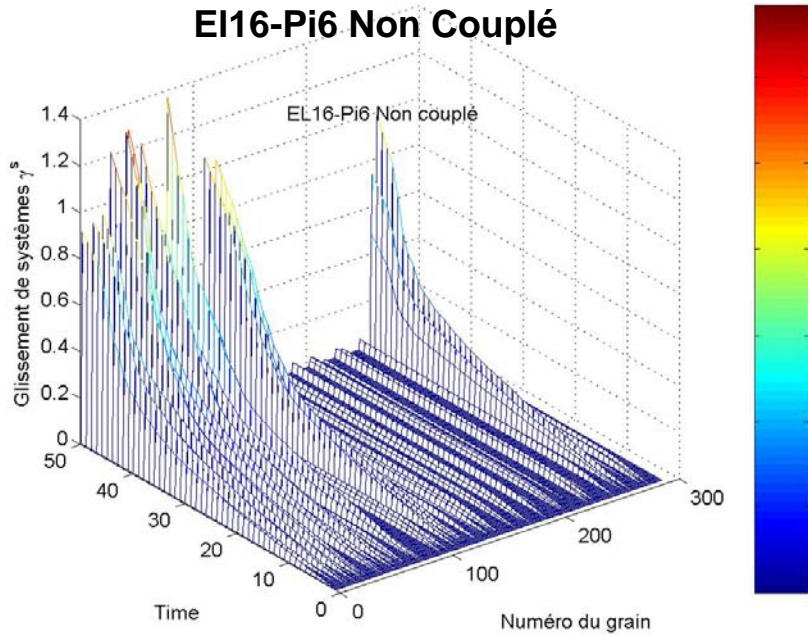
### EI351-Pi1 Non Couplé



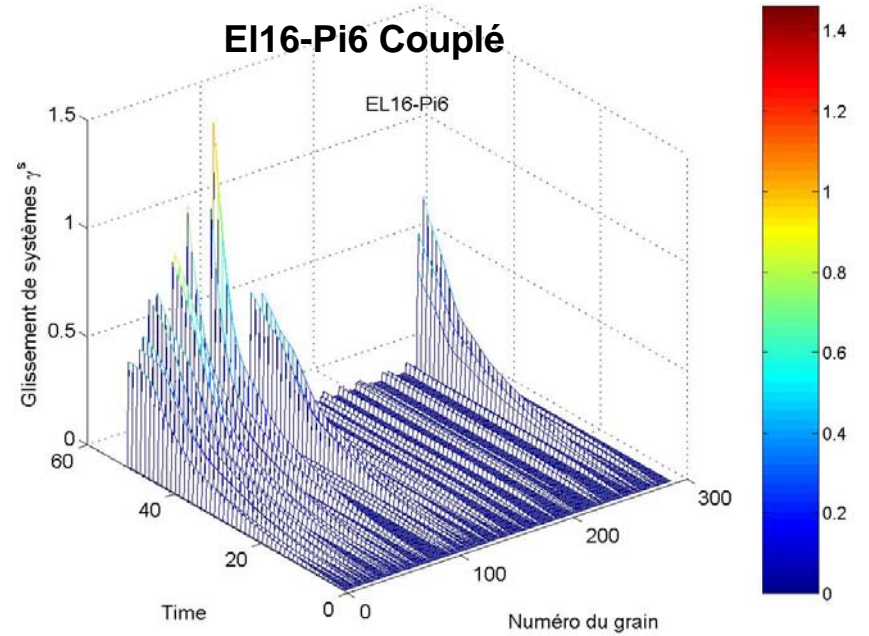
### EI351-Pi1 Couplé



### EI16-Pi6 Non Couplé

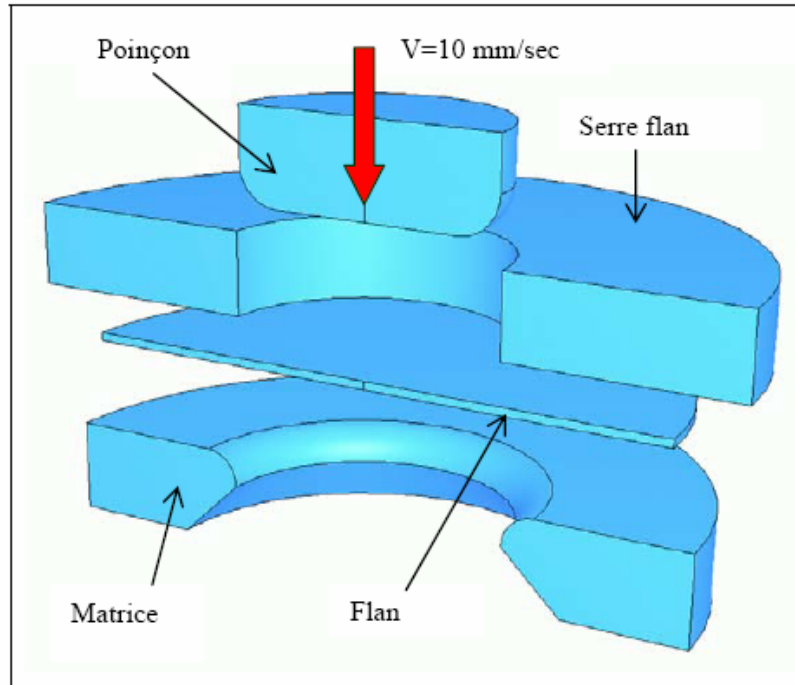


### EI16-Pi6 Couplé



# Comparaison du Poly24 et MAC1 sur un procédé d'Emboutissage

Diamètre extérieur matrice = 80 mm ;  
Diamètre intérieur matrice = 80 mm ;  
Hauteur matrice = 10.5 mm ;  
Petit rayon matrice = 4 mm ;  
Diamètre extérieur serre flan = 33.9 mm ;  
Diamètre intérieur serre flan = 90 mm ;  
Petit rayon poinçon = 5 mm ;  
Diamètre du flan = 73 mm ;  
Epaisseur du flan = 1 mm



**Matériaux**  
**-Poly24**  
**-Référence MAC1**

**Essai Swift [KHE 04]**



# Introduction

## I. Modélisation du comportement avec endommagement ductile

### Modélisation

#### macroscopique

#### Modélisation micro-macro

## II. Modélisation numérique

### 1 Principe de résolution

### 2 Méthodes incrémentales à résolution

### 3 Intégration numérique des modèles de comportement

## III. Quelques Applications

### Conclusions et Perspectives

## CONCLUSIONS

- ✓ Formulation de modèles : introduction d'une compressibilité plastique induite par l'endommagement ductile en MACRO et MICRO-MACRO
- ✓ Intégration numérique et implémentation des modèles de ces modèles de comportement.
- ✓ Application sur des cas de calcul de structures simples :
  - Essai de traction : étude de la localisation
  - Matériaux à endommagement fortement non linéaire !
  - Réponses cohérentes des modèles micro-macros et macros.
- ✓ Applications à des essais de mise en forme
  - Incapacité du modèle de Gurson à simuler les procédés de cisailage.
  - Bonne prédiction des modèles proposés pour la simulation des procédés de formage de tôles (emboutissage et poinçonnage).



## PERSPECTIVES

- Valoriser l'apport des modèles micro-macros : anisotropie de l'écoulement plastique avec endommagement, ...
- Etude de l'influence de l'endommagement sur les évolutions texturales.
- Etude expérimentale sur des matériaux réels (thèse en cours [Hfaiedh]) pour corrélation avec les deux familles de modèles (adaptation des modèles si nécessaire).
- Réaliser des études expérimentales afin d'alimenter les modèles
- Calcul d'agrégats réels qui nécessite le développement de Techniques de maillage, Techniques de calcul parallèle ...



***MERCI***



$$\dot{d}^s = \dot{\lambda}^s \left\langle \frac{Y^s - Y_0}{S} \right\rangle^\beta \frac{1}{(1-d^s)^m}$$

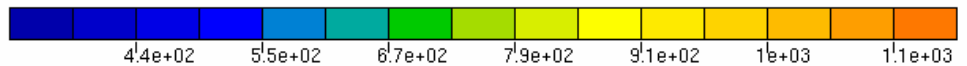
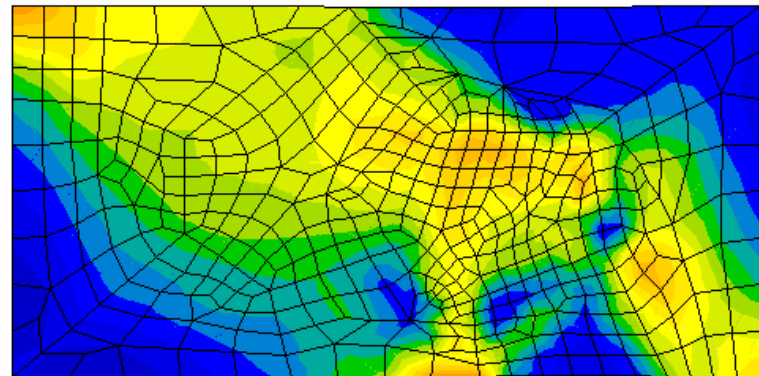
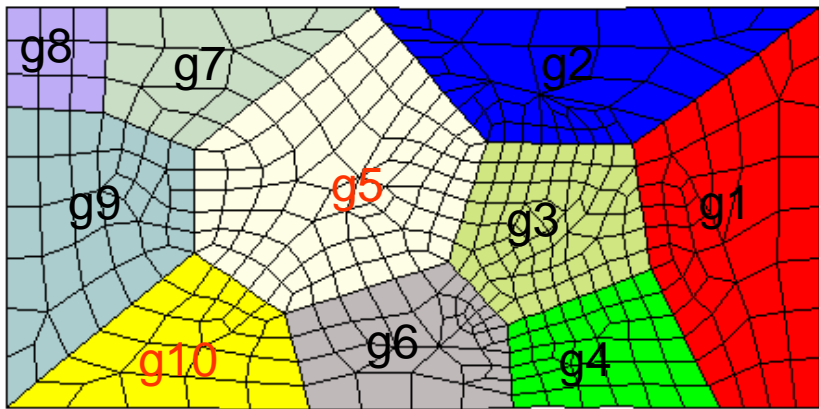
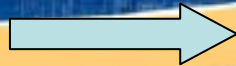
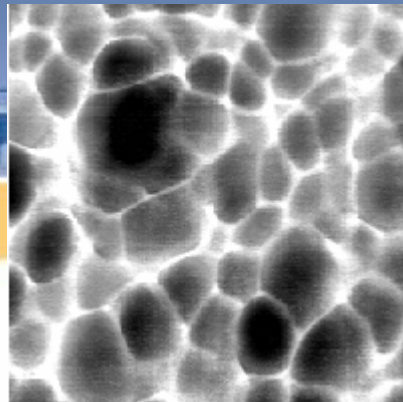
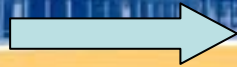
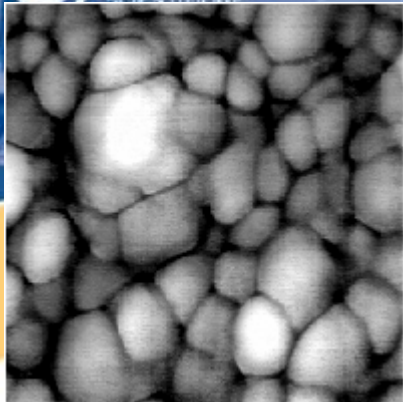
$$Y^s = \frac{1}{2} \frac{q^s}{(1-d^s)} R^s$$

$$R^s = Q \sqrt{1-d^s} \sum_{r=1}^{N_s} H^{sr} \sqrt{1-d^r} q^r$$

$$\dot{\lambda}^s = \frac{\left[ \left[ \underline{\Sigma} + C \left( \sum_{g=1}^{N_g} f^g \underline{\beta}^g - \underline{\beta}^g \right) \right] : \underline{m}^s + \alpha D^s \left\langle \left[ \underline{\Sigma} + C \left( \sum_{g=1}^{N_g} f^g \underline{\beta}^g - \underline{\beta}^g \right) \right] : \underline{\eta}^s \right\rangle - R^s \right]}{\sqrt{1-d^s}} - \tau_0 \quad \Bigg/ \quad K \quad \Bigg/ \quad n$$

$$\dot{D}^T = \sum_{g=1}^{N_{g'}} f^g \sum_{s=1}^{N_s} \dot{d}^s$$

$$\int \dot{D}^T dt = \int \sum_{g=1}^{N_{g'}} f^g \sum_{s=1}^{N_s} \dot{d}^s dt \neq D^T = \sum_{g=1}^{N_{g'}} f^g \sum_{s=1}^{N_s} d^s$$



sigmises map:827.000000 time:55.25 min:378.284950 max:1140.963322